

# Usando Performance Relativa para Avaliar Desempenho em Supercomputadores Paralelos

Josilene Aires Moreira  
Dataprev – Empresa de Tecnologia e  
Informações da Previdência Social  
josi.aires@pb.previdenciasocial.gov.br

Walfredo Cirne  
Universidade Federal de Campina Grande  
walfredo@dsc.ufpb.br

## Resumo

Em princípio, a performance de um supercomputador paralelo é o resultado da atuação do escalonador sobre a workload que está sendo processada. Entretanto, dependendo da métrica utilizada para representar este desempenho, o resultado final da avaliação pode variar, gerando conflitos. Dessa forma, a métrica de performance é também um fator que influencia nos resultados do processo de avaliação. A métrica Performance Relativa, aqui apresentada, através da comparação dos *turn-around times* de todo o conjunto de programas obtidos pelos diferentes métodos de escalonamento, possibilita minimizar a influência que a métrica possa exercer sobre o resultado da avaliação de performance. Possibilita também identificar e estudar os subconjuntos de dados onde cada método obteve melhor desempenho, a fim de determinar suas características.

## 1. Introdução

A avaliação de performance de supercomputadores paralelos não é uma tarefa fácil, pois há uma multiplicidade de fatores envolvidos cujas interações interferem no processo de avaliação, afetando os resultados.

Em princípio a performance deveria depender apenas da workload (conjunto de programas) que está sendo processada e do método de escalonamento utilizado para gerenciar a fila de execução dos programas [1] [2] [3]. Mas há exemplos na literatura que mostram outro aspecto da avaliação influenciando nos resultados: a métrica de performance [2] [4] [5].

Acreditamos que boa parte do problema desta interferência seja devido à natureza sumarizadora das métricas baseadas em estatísticas utilizadas até então. A sumarização oferecida por uma estatística perde muita informação, uma vez que as distribuições dos *turn-around times* são tipicamente muito elásticas nas workloads dos supercomputadores paralelos [3]. Propomos como solução o uso da Performance Relativa, que baseia-se em toda a distribuição dos *turn-around times* (tempo passado entre a submissão e o término de um programa) obtidos pelos escalonadores avaliados.

A análise de performance baseada em Performance Relativa parece sofrer menos interferência da workload do que as métricas baseadas em estatísticas sumarizadas, uma vez que seu resultado inclui a análise de toda a distribuição e não usa sumarização dos dados. Possibilita também uma boa visualização gráfica comparativa dos resultados.

Nosso estudo de caso investiga o controvertido problema *Easy Backfilling X Conservative Backfilling* [6] [7]. Os artigos [6] e [7] analisam a performance de computadores IBM SP2 utilizando ambas as formas de *Backfilling*: *Easy* e *Conservative*. No artigo [6] conclui-se que a performance dos dois algoritmos é similar, sendo que *Conservative* possui a vantagem da previsibilidade. Em [7], chega-se à conclusão que, de forma geral, as workloads provenientes dos computadores SP2 favorecem o *Easy Backfilling*. Porém em algumas métricas o resultado parece se inverter. Fica no ar, portanto, a pergunta: Qual métrica vale de fato?

Estes resultados controvertidos e inconclusivos hoje conhecidos nos motivaram a utilizar esta nova maneira de comparar desempenho, Performance Relativa, a fim de avaliarmos o mesmo problema.

As workloads que usamos são *traces* de IBM SP2 dos centros de supercomputação KTH, SDSC e CTC, como também uma workload sintética. Como veremos em detalhes, nossa análise mostra que *Easy Backfilling* de fato proporciona uma melhor performance que *Conservative Backfilling*. Mais ainda, conseguimos identificar que *Easy* favorece programas grandes, explicando assim as razões pelas quais *Easy* obtém melhor performance nos cenários avaliados.

Este artigo está organizado da seguinte forma. A seção 2 descreve os dois métodos de escalonamento utilizados no nosso estudo de caso. A seção 3 comenta as métricas de performance existentes e apresenta a Performance Relativa. A seção 4 apresenta o estudo de caso realizado e os resultados alcançados. Finalmente a seção 5 reúne as conclusões obtidas.

## 2. Escalonadores

Em um ambiente de processamento paralelo um programa deve explicitar o número de processadores (*nodes*) e o tempo requerido (*tr*) para a sua execução [8]. Note que o programa é abortado pelo sistema caso ele exceda o tempo requerido. O produto entre o número de processadores e o tempo requerido é conhecida como *forma* ou *área* do programa. Um programa submetido pode não encontrar recursos disponíveis para ser executado imediatamente. Quando isso acontece, o programa é colocado em uma fila, a qual é controlada pelo escalonador do supercomputador. O escalonador tem a função de receber as requisições dos programas e decidir quando estes iniciarão a sua execução e que processadores usarão. Obviamente, dependendo da política de escalonamento escolhida, os sistemas podem apresentar variações de desempenho [8].

*Backfilling* é uma otimização do método FCFS (*First Come First Served*), onde os programas que chegam para executar são colocados em uma fila e alocados por ordem de chegada. Como os programas requerem um determinado número de processadores para executar (*nodes*), pode acontecer de haver processadores disponíveis, mas não em quantidade suficiente para que o primeiro programa na fila possa executar. *Backfilling* tenta reduzir ao mínimo esta subutilização de recursos através da alocação de outros programas da fila capazes de preenchê-los [7].

### 2.1. Conservative Backfilling

No algoritmo do *Conservative Backfilling*, quando o escalonador encontra o primeiro programa que não dispõe de recursos para ser executado imediatamente, percorre a fila procurando um outro que possa ser executado com os recursos que estão disponíveis no momento. Este programa pode então ser adiantado, desde que não atrase o início estimado de nenhum outro ocupante da fila de espera.

Deste modo, o algoritmo garante previsibilidade, pois no momento da submissão já é possível garantir um limite máximo para o início de um programa (máximo porque os programas à sua frente na fila poderão terminar antes ou então o próprio programa poderá ser adiantado através de *backfilling*).

### 2.2. Easy Backfilling

O algoritmo de *Easy Backfilling* também percorre a fila no momento em que um programa não pode ser executado, a fim de encaixar um outro que aproveite os recursos disponíveis. A diferença é que este método é mais agressivo, pois permite adiantar qualquer programa da fila de espera desde que isto não cause atraso ao primeiro da fila [7].

Este algoritmo ganha em agressividade, propondo uma maior utilização do sistema, mas perde em previsibilidade, pois é impossível estabelecer qualquer garantia de quando um programa será executado.

## 3. Métricas de performance

As métricas são os métodos utilizados para avaliar o desempenho de um sistema. Existem algumas métricas comumente usadas para representar a performance dos supercomputadores paralelos, cada uma com as suas características.

### 3.1. Turn-around time médio

O *turn-around time* (*tt*), também conhecido como tempo de resposta, é definido como o intervalo entre o instante em que o programa é submetido ao sistema até o momento em que toda a sua saída é produzida e o programa termina.

Para representar a performance do sistema quanto à execução de um conjunto de programas têm-se utilizado a média dos *turn-around times*, com a intenção de sumarizar estes valores através de um único número que represente performance. Porém a média possui a característica de ser influenciada por valores extremos [9]. Uma *workload* que possua a maioria dos programas com *turn-around time* curto e alguns poucos programas com *turn-around time* muito longo, certamente terá sua média dos *turn-around times* mais influenciada por estes valores muito longos, o que elevará a média geral. Por exemplo, o *turn-around time* médio para noventa e nove programas de 1 segundo e um programa de 2000 segundos é 20.99 segundos.

### 3.2. Slowdown médio

O *slowdown*, também conhecido como fator de expansão, é o *turn-around time* (*tt*) normalizado pelo tempo de execução (*te*),  $s = tt / te$  [10]. O *slowdown* é utilizado a fim de reduzir valores extremos associados a programas muito longos. A idéia principal por trás do *slowdown* é que um programa espere na fila um tempo proporcional ao seu tempo de execução. Por outro lado, o *slowdown* supervaloriza a importância dos programas muito curtos. Por exemplo, um programa de um segundo que espera dez minutos na fila tem um *slowdown* de 600.

### 3.3. Bounded slowdown médio

O *bounded slowdown* procura atenuar o *slowdown* através da definição de um limite para o tempo de execução  $bs = tt / \max(te, \tau)$  [10]. A diferença é que, para programas muito pequenos, o *slowdown* será limitado pelo valor limite ( $\tau$ ) escolhido, e não pelo tempo de execução. Obviamente, o comportamento desta métrica vai depender do valor de  $\tau$ . Um valor tipicamente utilizado é  $\tau =$

10 [1] [10]. Por exemplo, para o mesmo programa de um segundo que espera dez minutos na fila, o *bounded slowdown* é de 60.

A utilização tanto do *slowdown* como do *bounded slowdown* levam a novos problemas, pois podem encorajar o escalonador a fazer com que os programas tenham um tempo de execução maior a fim de baixar os valores destas métricas.

### 3.4. Média geométrica do *turn-around time*

A média geométrica é definida por  $medgeom(x_1, \dots, x_n) = \sqrt[n]{x_1 * \dots * x_n}$ , e tem a característica de ser menos influenciada por valores extremos [8]. Desta forma, a idéia de usar média geométrica ao invés da média aritmética tem o objetivo de reduzir o efeito dos programas com *turn-around time* muito longo ou muito curto sobre a média geral dos *turn-around times* da *workload*. Esta métrica é usada para agregar o tempo de execução dos programas que compõem o *Spec Benchmark* [11].

### 3.5. Performance relativa

A performance relativa toma como base a relação entre os dois valores de *turn-around time* obtidos para cada programa através das duas alternativas de escalonamento que se deseja comparar. A metodologia utilizada é a seguinte:

- Define-se quais escalonadores (ou supercomputadores) deseja-se comparar, dois a dois (chamemos de **a** e **b**);
- Toma-se uma determinada *workload* de tamanho **n** a ser submetida aos dois escalonadores;
- Registra-se o *turn-around time* de cada programa obtido em cada escalonador ( $tt_a$  e  $tt_b$ );
- Calcula-se a razão entre os **n** pares dos *turn-around times*, ( $tt_a / tt_b$ );
- Finalmente, calcula-se a distribuição acumulada de frequência das razões obtidas, a fim de obter a representação gráfica.

Vejamos o resultado na figura 1, através da distribuição acumulada de frequência.

Para cada razão **i** interpreta-se o resultado da seguinte maneira:

- Se  $tt_a / tt_b = 1$ , o programa obteve o mesmo *turn-around time* nos dois escalonadores;
- Se  $tt_a / tt_b < 1$  o programa obteve melhor *turn-around time* no escalonador **a**;
- Se  $tt_a / tt_b > 1$  o programa obteve melhor *turn-around time* no escalonador **b**.

Através do gráfico percebemos que aproximadamente 65% dos programas obtiveram o mesmo valor de *turn-around time* nos dois escalonadores; o escalonador **a** foi

melhor em aproximadamente 11% dos *turn-around times* e o escalonador **b** foi melhor em aproximadamente 24% dos *turn-around times*. Mais ainda, a partir do gráfico é possível avaliar o impacto que os escalonadores **a** e **b** tiveram sobre os programas que beneficiaram. Por exemplo, alguns programas chegaram a concluir em tempo 32.000 vezes menor quando usando o escalonador **a**. Por outro lado, o escalonador **b** concluiu alguns programas em tempo 1.000.000 de vezes menor que o escalonador **a**.

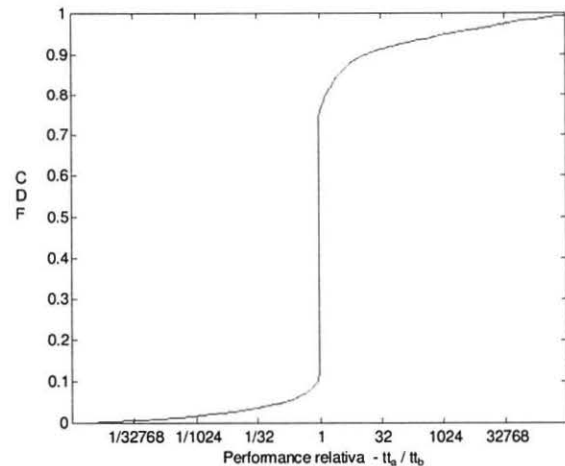


Figura 1 - Exemplo de performance relativa

O uso desta métrica é interessante porque analisa toda a distribuição da *workload*, ao contrário das métricas baseadas em estatísticas. Assim, as características da *workload*, tais como ser dominada por programas muito longos ou ainda possuir valores extremos que afetem a média aritmética dos *turn-around times* não interferem no resultado desta métrica, uma vez que a comparação é feita programa a programa.

Este mecanismo de avaliação permite que se conheça exatamente em quanto um algoritmo de escalonamento foi mais eficiente do que outro para uma *workload*, além de permitir identificar para quais programas. A partir destas informações é possível isolar o conjunto de programas onde cada algoritmo foi melhor, a fim de identificar e estudar suas características, como veremos adiante no estudo de caso.

Como desvantagem, podemos citar que para comparar mais de dois escalonadores é necessário fazê-lo dois a dois, obtendo sempre a relação de um *turn-around time* para com outro.

## 4. Estudo de caso

Realizamos a simulação dos métodos de escalonamento *Conservative Backfilling* e *Easy Backfilling* a fim de efetuar o processo de avaliação de performance destes algoritmos através de algumas métricas conhecidas e

também da Performance Relativa. Foram usados três *logs* de *workloads* provenientes de diferentes centros de supercomputação disponíveis na *web* [12] [13] e ainda uma quarta *workload* sintética obtida através de um modelo de carga [14].

#### 4.1. O ambiente da simulação

O nosso simulador recebe como entrada uma *workload* contendo para cada programa a quantidade de processadores (*nodes*), o *request time* (*tr*), o momento da submissão e o tempo de execução (*te*). Também são fornecidos ao simulador o método de escalonamento e a descrição do supercomputador, incluindo o número de processadores disponíveis.

O processamento destes programas é simulado através dos dois métodos de escalonamento descritos na seção 2, obtendo-se os *turn-around times* como resultado. Estes *turn-around times* são então comparados através das métricas:

- *Turn-around time* médio (*tt* médio);
- *Slowdown* médio;
- *Bounded slowdown* médio com  $\tau = 10$ ;
- *Bounded slowdown* médio com  $\tau = 100$ ;
- Média geométrica e
- Performance relativa.

#### 4.2. Workloads utilizadas

Com o objetivo de tornar a simulação o mais realista possível, foram utilizados *traces* de supercomputadores de diferentes fontes disponíveis na *web* [12][13], além de um modelo sintético [14].

Tabela 1 – Descrição das workloads

Nome	máquina	processadores	Programas	período
CTC	Cornell Theory Center SP2	430	79.296	Jul 1996 Mai 1997
KTH	Swedish Royal Institute of Technology SP2	100	28.474	Set 1996 Ago 1997
SDSC	San Diego Supercomputer Center SP2	128	16.376	Jan 1999 Mai 1999
SYNT	Modelo Sintético	800	50.000	-

Nem todos os programas que são submetidos aos supercomputadores completam a sua execução. Alguns são cancelados pelo usuário. Como estamos analisando as métricas baseadas nos *turn-around times* dos programas, retiramos aqueles cancelados das *workloads* CTC, SDSC e do modelo sintético a fim de considerarmos só os programas que completaram sua execução ou foram interrompidos pelo escalonador por exceder o tempo requisitado (*tr*). A *workload* KTH não faz discriminação entre

os programas cancelados e os completados.

#### 4.3. Resultados da simulação

As tabelas 2 a 6 mostram os resultados de performance obtidos para cada método de escalonamento avaliado segundo as diversas métricas.

Tabela 2 – *Turn-around time* médio

<i>tt</i> médio		
Dados	EASY	CONS
CTC	11755	13409
KTH	14893	16202
SDSC	20158	20008
SYNT	10321	10695

Tabela 3 – Média geométrica do *tt*

Média geométrica do <i>tt</i>		
Dados	EASY	CONS
CTC	1846	2323
KTH	1628	2133
SDSC	1474	1738
SYNT	1483	1561

Tabela 4 – *Slowdown* médio

<i>Slowdown</i> médio		
Dados	EASY	CONS
CTC	5.32	13.97
KTH	158.11	209.35
SDSC	59.50	61.46
SYNT	67.99	42.52

Tabela 5 – *Bounded slowdown* médio ( $\tau=10$ )

<i>Bounded slowdown</i> médio		
Dados	EASY	CONS
CTC	5.32	13.97
KTH	79.44	92.26
SDSC	59.50	61.46
SYNT	25.36	16.47

Tabela 6 – *Bounded slowdown* médio ( $\tau=100$ )

<i>Bounded slowdown</i> médio		
Dados	EASY	CONS
CTC	4.36	8.60
KTH	20.55	20.82
SDSC	43.60	38.28
SYNT	7.65	5.64

Os valores das tabelas 2 a 6 estão expressos em segundos, com as colunas EASY mostrando o valor obtido para o método *Easy Backfilling* e a coluna CONS trazendo o valor obtido para o *Conservative Backfilling*.

A tabela 5 mostra o resultado do *bounded slowdown* calculado com  $\tau = 10$ ; como tanto para CTC como para SDSC não haviam programas com *turn-around time* menores que 10, foi calculado novamente o *bounded slowdown* com  $\tau = 100$ , cujos valores estão na tabela 6.

Analisando os resultados destas tabelas comparativamente temos:

- Através da métrica média geométrica, *Easy* obteve melhor performance em todas as *workloads*.
- Através da métrica *turn-around time* médio, o método *Conservative* foi ligeiramente melhor para a *workload* SDSC enquanto *Easy* foi melhor para as outras *workloads*.
- Através da métrica *slowdown* médio, o método *Conservative* foi melhor para a *workload* sintéti-

ca, enquanto *Easy* foi melhor para as outras *workloads*.

- Através do *bounded slowdown médio* com  $\tau = 10$ , *Conservative* foi melhor para a *workload* sintética, enquanto *Easy* foi melhor para as outras *workloads*.
- Através do *bounded slowdown médio* com  $\tau = 100$ , *Conservative* foi melhor para a *workload* sintética e para SDSC, enquanto *Easy* foi melhor para CTC e ligeiramente melhor para KTH.

Percebemos que para estas *workloads* os resultados de performance apresentaram resultados conflitantes dependendo da métrica utilizada, o que já era esperado, pois há outros exemplos na literatura identificando e tentando esclarecer estes conflitos [4] [6] [7].

Com o objetivo de contribuir para esclarecer melhor estes resultados contraditórios, utilizamos então a métrica performance relativa. O cálculo foi feito segundo a razão  $tt_{conservative} / tt_{easy}$  obtida a partir dos *turn-around times* dos programas submetidos aos métodos de escalonamento *Conservative Backfilling* ( $tt_{conservative}$ ) e *Easy Backfilling* ( $tt_{easy}$ ). Os gráficos das figuras 2, 3, 4 e 5 foram traçados a partir da distribuição acumulada de frequência destes valores.

A porção da curva à esquerda de 1 representa onde o método *Conservative Backfilling* foi melhor; a porção da curva à direita de 1 indica onde o método *Easy Backfilling* foi melhor. Os valores 1 indicam onde os dois métodos obtiveram o mesmo *turn-around time*.

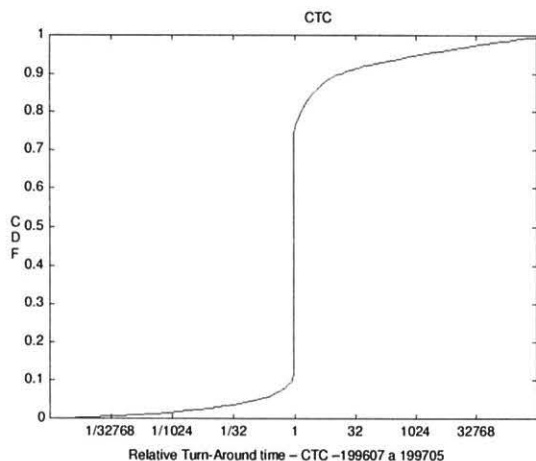


Figura 2 – Performance relativa CTC

- Na *workload* CTC vemos que o método *Conservative* foi melhor em aproximadamente 12% dos *turn-around times*, enquanto *Easy* foi melhor em aproximadamente 25%;
- Na *workload* KTH percebemos que o método *Conservative* foi melhor em aproximadamente

18% dos *turn-around times*, enquanto *Easy* foi melhor em aproximadamente 35%;

- Na *workload* SDSC temos que o método *Conservative* foi melhor em aproximadamente 23% dos *turn-around times*, enquanto *Easy* foi melhor em aproximadamente 33%;
- Na *workload* Sintética (SYNT) o método *Conservative* foi melhor em aproximadamente 18% dos *turn-around times*, *Easy* foi melhor em 35%.

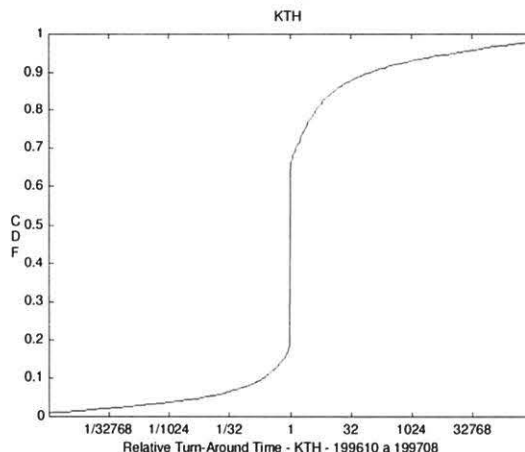


Figura 3 - Performance relativa KTH

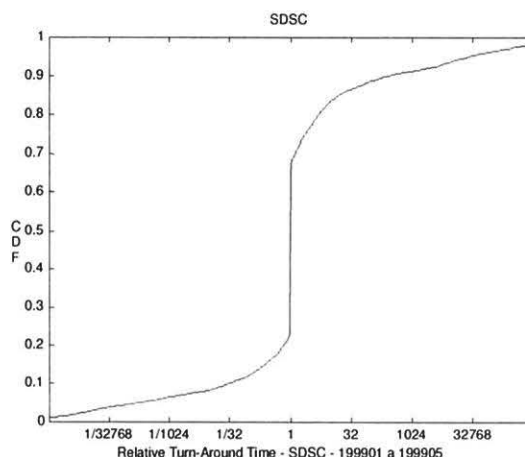


Figura 4 – Performance relativa SDSC

Outra análise importante que pode ser feita a partir dos gráficos é o quanto um algoritmo foi melhor em relação ao outro para os programas que beneficiou. Por exemplo, na *workload* CTC alguns programas chegaram a concluir em tempo 32.000 vezes menor quando usando o escalonador *Conservative*. Por outro lado, o escalonador *Easy* concluiu alguns programas em tempo 1.000.000 de vezes menor que o escalonador *Conservative*.

Um outro resultado surpreendente foi a quantidade de programas com o mesmo *turn-around time* nos dois métodos, variando de 44% em SDSC até 63% em CTC.

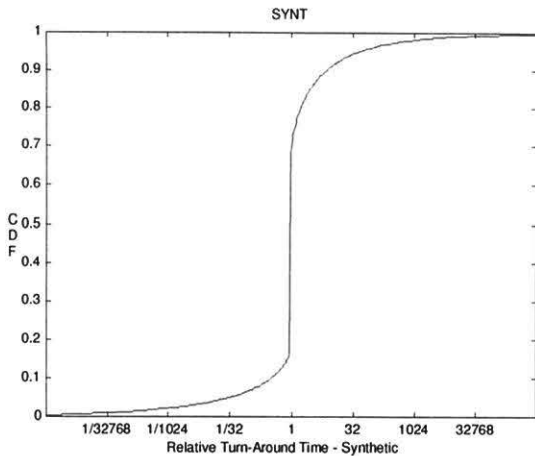


Figura 5 - Performance relativa SYNT

A segunda etapa dos resultados compreendeu o estudo do comportamento do conjunto de programas, a fim de identificar quais características eram favorecidas por um determinado método de escalonamento. As características estudadas foram as seguintes:

- número de processadores (*nodes*);
- tempo requisitado (*tr*);
- área requisitada (*tr X nodes*);
- tempo de execução (*te*) e
- área de execução (*te X nodes*).

Em cada *workload*, os programas foram ordenados por uma determinada característica e então divididos em três subconjuntos de igual tamanho: menores, médios e maiores. Para cada subconjunto traçamos então a Performance Relativa baseada nos *turn-around times* destes programas. Consideramos o resultado obtido pelo estudo da área (*tr X nodes*) como o mais interessante, pois é a partir dela que o escalonador trabalha para alocar os programas.

Encontramos uma relação entre o aumento desta área e a eficiência do *Easy Backfilling*: o desempenho do método melhorou à medida que a área aumentou, para todas as *workloads* consideradas. O resultado pode ser visualizado nas tabelas 7, 8, 9, 10 e nas figuras 6, 7, 8 e 9.

Os resultados em cada tabela estão expressos em valores percentuais: na tabela 7 (CTC) temos que para os programas pequenos *Easy* foi melhor em 13.63% dos casos e *Conservative* foi melhor em 13.51%, o que representa praticamente o mesmo desempenho. À medida que a área dos programas cresceu, o percentual onde *Easy* foi melhor aumentou, chegando a obter 35.52% contra 12.94% nos programas maiores.

A partir do gráfico da figura 6 esta situação pode ser visualizada: à medida que a área dos programas aumenta, o percentual onde *Easy* é melhor também aumenta. A variação do *Conservative* foi pequena para estes subconjuntos.

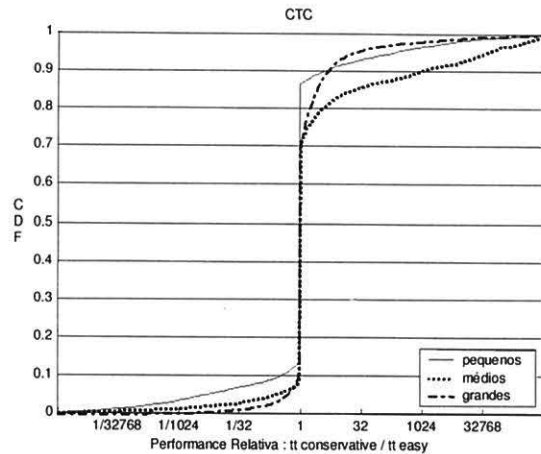


Figura 6 – Performance Relativa por área CTC

Tabela 7 - Performance relativa por área CTC

Performance relativa por área CTC			
Dados	EASY	CONS	IGUAL
Pequenos	13.63	13.51	72.84
Médios	30.84	9.59	59.56
Grandes	32.52	12.94	54.53

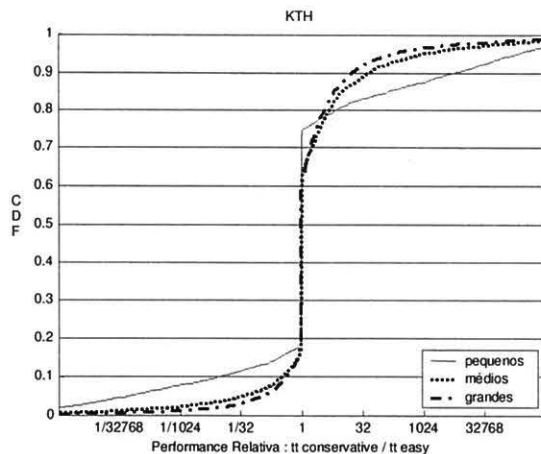


Figura 7 – Performance relativa por área KTH

Tabela 8 - Performance relativa por área KTH

Performance relativa por área KTH			
Dados	EASY	CONS	IGUAL
Pequenos	25.92	18.51	55.55
Médios	38.39	17.19	44.41
Grandes	41.34	20.05	38.60

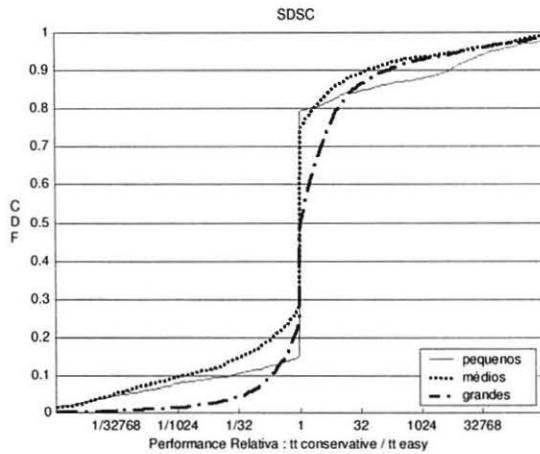


Figura 8 – Performance Relativa por área SDSC

Tabela 9 - Performance relativa por área SDSC

Performance relativa por área SDSC			
Dados	EASY	CONS	IGUAL
Pequenos	20.95	15.27	63.77
Médios	26.53	29.19	44.27
Grandes	52.00	26.38	21.61

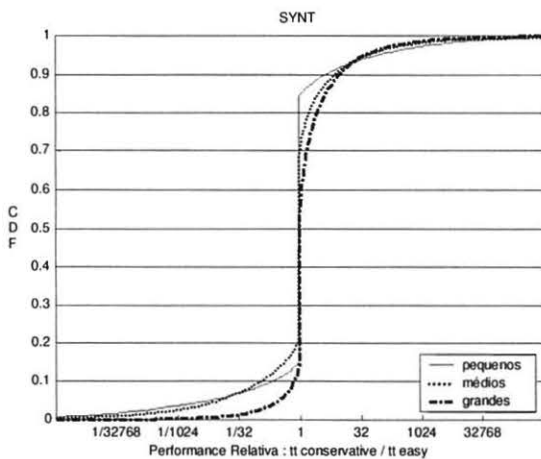


Figura 9 – Performance relativa por área SYNT

Tabela 10 - Performance por área SYNT

Performance Relativa SYNT			
Dados	EASY	CONS	IGUAL
Pequenos	15.68	15.48	68.82
Médios	31.48	22.97	45.53
Grandes	48.34	15.84	35.81

Em todas as *workloads* utilizadas observamos um comportamento semelhante: o método *Easy* foi melhorando o desempenho, isto é, obtendo um percentual crescente de melhores *turn-around times* à medida que a área

dos programas aumentou. Esta constatação justifica-se devido à maior possibilidade dos programas com maior área serem adiantados na fila através do algoritmo *Easy* do que pelo *Conservative*, pois neste último um programa só poderá passar à frente dos outros se não atrasar o tempo de início estimado de nenhum programa da fila.

Com relação aos *turn-around times* obtidos pelo método *Conservative* não se pôde determinar nenhum crescimento ou decréscimo em função da área dos programas para as *workloads* estudadas.

Vimos então através do estudo de caso que o método de escalonamento *Easy backfilling* realmente proporcionou uma melhor performance para as *workloads* analisadas. Também vimos que *Easy* favorece programas grandes, o que pôde ser observado através da análise das características dos programas favorecidos por cada método de escalonamento.

## 5. Conclusões

A obtenção de um resultado correto em uma avaliação de performance em supercomputadores paralelos não é uma tarefa fácil. Além da interação entre os métodos de escalonamento e as *workloads*, temos também a interferência da métrica.

A métrica escolhida para representar o desempenho do sistema pode influenciar fortemente no processo de avaliação, pois as interações com a *workload* geram resultados que podem estar refletindo as características da carga e modificando as conclusões da avaliação. Um exemplo disto são as métricas baseadas em estatísticas sumarizadoras, que podem ter seus resultados afetados por valores extremos da *workload*.

A Performance Relativa, através da comparação direta dos *turn-around times* dos métodos de escalonamento, pretende minimizar esta interferência através de uma representação dos resultados que não seja afetada pelos valores extremos. Esta propriedade de não ser afetada é conseguida através da comparação dos *turn-around times* programa a programa, abrangendo toda a distribuição da *workload*. A visualização gráfica proporcionada pela métrica também possibilita analisar o impacto que os escalonadores tiveram sobre os programas que beneficiaram.

Como estudo de caso usamos *Easy Backfilling* x *Conservative Backfilling*, um caso em que a literatura apresenta resultados conflitantes [6] [7], e pudemos concluir claramente que *Easy Backfilling* proporcionou melhor desempenho para a maioria dos programas das *workloads* analisadas. Descobrimos também que *Easy* beneficia os programas grandes.

Mas talvez a contribuição mais importante deste trabalho seja metodológica, apresentando uma métrica que,

por não usar estatísticas sumarizadoras, é fundamentalmente diferente das métricas até então utilizadas.

Obviamente, o uso desta nova métrica não invalida aquelas anteriormente utilizadas, pois o processo de avaliação de performance não tem como objetivo único concluir quem é melhor. Mais do que isso, estes estudos têm sentido à medida que nos ajudam a compreender cada vez mais o comportamento dos escalonadores ao lidar com determinadas características das *workloads*. Neste sentido, seria indicado conduzir qualquer avaliação de performance usando o maior número de métricas e os mais completos modelos de carga disponíveis, e não apenas um em particular. Se os resultados obtidos forem conflitantes, deve-se analisar detalhadamente o porquê e procurar conhecer as causas dos conflitos, isolando-os e refazendo o processo com os dados e métricas que forem mais significativos para o objetivo do estudo.

## 7. Referências

- [1] D. Feitelson and L. Rudolph, *Metrics and Benchmarking for Parallel Job Scheduling*. In Job Scheduling Strategies for Parallel Processing, Dror Feitelson and Larry Rudolph (Eds.), Springer-Verlag, Lecture Notes in Computer Science vol. 1459, pp. 1-24, 1998.
- [2] D. Feitelson, *The Effect of Metrics and Workloads on Performance Evaluation*. Technical Report 2001-13, School of Computer Science and Engineering, The Hebrew University of Jerusalem, Oct 2001.
- [3] V. Lo, J. Mache, and K. Windisch. *A Comparative Study of Real Workload Traces and Synthetic Workload Models for Parallel Job Scheduling*. In Job Scheduling Strategies for Parallel Processing, Dror Feitelson and Larry Rudolph (Eds.), Springer Verlag, Lect. Notes Comput. Sci. vol. 1459, pp. 25-46, 1998.
- [4] D. Feitelson. *Analyzing the Root Causes of Performance Evaluation Results*. Technical Report 2002-4, School of Computer Science and Engineering, The Hebrew University of Jerusalem, Mar 2002.
- [5] S. Chapin, W. Cirne, D. Feitelson, J. Jones, S. Leutenegger, U. Schwiigelshohn, W. Smith, and D. Talby. *Benchmarks and Standards for the Evaluation of Parallel Job Schedulers*. In Job Scheduling Strategies for Parallel Processing, D. Feitelson and Larry Rudolph (Eds.) Springer-Verlag, Lecture Notes in Computer Science, vol. 1659, pp. 66-89, 1999.
- [6] D. Feitelson and A. Mu'Alem. *Utilization and Predictability in Scheduling IBM SP2 with Backfilling*. In 12<sup>th</sup> Intl. Parallel Processing Symp., pp 542-546, Apr 1998.
- [7] A. Mu'Alem and D. Feitelson. *Utilization, Predictability, Workloads, and User Runtime Estimates in Scheduling the IBM SP2 with Backfilling*. IEEE Trans. Parallel & Distributed Syst, 12(6), pp. 529-543, Jun 2001.
- [8] W. Cirne, *Using Moldability to Improve the Performance of Supercomputer Jobs*. Ph.D. Thesis, University of California, San Diego. 2001.
- [9] P. L. Costa Neto. *Estatística*. Editora Edgard Blücher Ltda, 1977.
- [10] D. Feitelson, *Metrics for Parallel Job Scheduling and Their Convergence*. In Job Scheduling Strategies for Parallel Processing, D. G. Feitelson and L. Rudolph (Eds.), Springer-Verlag, Lecture Notes in Computer Science Vol. 2221, pp. 188-206, 2001.
- [11] *Standard Performance Evaluation Corporation*. The SPEC web page. <http://www.spec.org/>
- [12] Dror Feitelson. *The Parallel Workloads Archive*. <http://www.cs.huji.ac.il/labs/parallel/workload/>
- [13] Victor Hazlewood. *NPACI JobLog Repository*. <http://joblog.npaci.edu/>
- [14] W. Cirne and F. Berman. *A Comprehensive Model of the Supercomputer Workload*. In Proceedings of WWC-4: IEEE 4<sup>th</sup> Annual Workshop on Workload Characterization, Dec 2001.